

# Le cône de Horn associé aux valeurs propres symplectiques

Paul-Emile Paradan

Université de Montpellier, France

Journées SL2R, IECL-Nancy  
13 mai 2022

- 1 Valeurs propres symplectiques
- 2 Problèmes de Horn
  - Le cadre classique
  - Le résultat principal
- 3 Classique versus Quantique
- 4 Le cône causal de  $\mathfrak{sp}(\mathbb{R}^{2n})$
- 5 La série discrète holomorphe du groupe symplectique
  - Produit tensoriel
  - La quantification commute à la réduction
  - Un résultat de H.P. Jakobsen et M. Vergne
- 6 Réduction au compact maximal
- 7 Fin de la preuve

# Valeurs propres symplectiques

# Valeurs propres symplectiques

Le groupe symplectique  $Sp(\mathbb{R}^{2n})$  agit sur  $Sym_{2n}^{++} : g \cdot X = gXg^t$ .

Pour  $\alpha = (\alpha_1 \geq \dots \geq \alpha_n > 0)$ , on note  $\mathcal{O}_\alpha$  l'orbite de la matrice diagonale  $Diag(\alpha_1, \dots, \alpha_n, \alpha_1, \dots, \alpha_n)$ .

# Valeurs propres symplectiques

Le groupe symplectique  $Sp(\mathbb{R}^{2n})$  agit sur  $Sym_{2n}^{++} : g \cdot X = gXg^t$ .

Pour  $\alpha = (\alpha_1 \geq \dots \geq \alpha_n > 0)$ , on note  $\mathcal{O}_\alpha$  l'orbite de la matrice diagonale  $Diag(\alpha_1, \dots, \alpha_n, \alpha_1, \dots, \alpha_n)$ .

## Théorème de Williamson (1936)

Tout  $X \in Sym_{2n}^{++}$  appartient à une unique orbite  $\mathcal{O}_\alpha$ .

Le  $n$ -uplet  $\alpha$  est composé des valeurs propres symplectiques de  $X$ . Il est noté  $sp(X)$ .

# Valeurs propres symplectiques

Le groupe symplectique  $Sp(\mathbb{R}^{2n})$  agit sur  $Sym_{2n}^{++} : g \cdot X = gXg^t$ .

Pour  $\alpha = (\alpha_1 \geq \dots \geq \alpha_n > 0)$ , on note  $\mathcal{O}_\alpha$  l'orbite de la matrice diagonale  $Diag(\alpha_1, \dots, \alpha_n, \alpha_1, \dots, \alpha_n)$ .

## Théorème de Williamson (1936)

Tout  $X \in Sym_{2n}^{++}$  appartient à une unique orbite  $\mathcal{O}_\alpha$ .

Le  $n$ -uplet  $\alpha$  est composé des valeurs propres symplectiques de  $X$ . Il est noté  $sp(X)$ .

## Cône de Horn symplectique

$Horn_{sp}(n)$  est l'ensemble des triplets  $(sp(X), sp(Y), sp(X + Y))$  où  $X, Y$  appartiennent à  $Sym_{2n}^{++}$ .

# Valeurs propres symplectiques: le cas de $\text{Horn}_{\text{sp}}(1)$

# Valeurs propres symplectiques: le cas de $\text{Horn}_{\text{sp}}(1)$

- Identification équivariante  $\text{Sym}_2 \simeq \mathfrak{sl}(2, \mathbb{R})$  donnée par

$$\begin{pmatrix} -y+z & x \\ x & y+z \end{pmatrix} \mapsto \begin{pmatrix} x & y-z \\ y+z & -x \end{pmatrix}$$

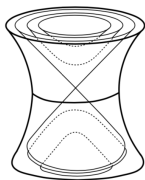


Figure: Orbites adjointes de  $SL(2, \mathbb{R})$

# Valeurs propres symplectiques: le cas de $\text{Horn}_{\text{sp}}(1)$

- Identification équivariante  $\text{Sym}_2 \simeq \mathfrak{sl}(2, \mathbb{R})$  donnée par

$$\begin{pmatrix} -y+z & x \\ x & y+z \end{pmatrix} \mapsto \begin{pmatrix} x & y-z \\ y+z & -x \end{pmatrix}$$

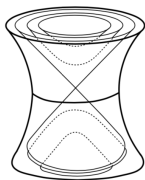


Figure: Orbites adjointes de  $SL(2, \mathbb{R})$

- Identification  $\text{Sym}_2^{++} \simeq \{x^2 + y^2 - z^2 < 0 \text{ et } z > 0\}$

$\text{Horn}_{\text{sp}}(1)$

$(a, b, c) \in \text{Horn}_{\text{sp}}(1)$  si et seulement si  $a + b \leq c$ .

# Le problème de Horn: le cadre classique

# Le problème de Horn: le cadre classique

Le groupe unitaire  $U(n)$  agit sur les matrices hermitiennes  $n \times n$ : l'orbite d'une matrice  $X$  est déterminée par le  $n$ -uplet  $vp(X)$  formé par ses valeurs propres.

## Cône de Horn classique

$\text{Horn}(n)$  est l'ensemble des triplets  $(vp(X), vp(Y), vp(X + Y))$  où  $X, Y$  sont des matrices hermitiennes  $n \times n$ .

# Le problème de Horn: le cadre classique

Le groupe unitaire  $U(n)$  agit sur les matrices hermitiennes  $n \times n$ : l'orbite d'une matrice  $X$  est déterminée par le  $n$ -uplet  $vp(X)$  formé par ses valeurs propres.

## Cône de Horn classique

$\text{Horn}(n)$  est l'ensemble des triplets  $(vp(X), vp(Y), vp(X + Y))$  où  $X, Y$  sont des matrices hermitiennes  $n \times n$ .

**Nombreux travaux:** Ky Fan, Lidskii, Weyl, Horn, Klyachko, Knutson-Tao, Belkale-Kumar, Berenstein-Sjamaar, Ressayre,...

# Le problème de Horn: le cadre classique

Le groupe unitaire  $U(n)$  agit sur les matrices hermitiennes  $n \times n$ : l'orbite d'une matrice  $X$  est déterminée par le  $n$ -uplet  $vp(X)$  formé par ses valeurs propres.

## Cône de Horn classique

$\text{Horn}(n)$  est l'ensemble des triplets  $(vp(X), vp(Y), vp(X + Y))$  où  $X, Y$  sont des matrices hermitiennes  $n \times n$ .

**Nombreux travaux:** Ky Fan, Lidskii, Weyl, Horn, Klyachko, Knutson-Tao, Belkale-Kumar, Berenstein-Sjamaar, Ressayre,...

## Théorème (Klyachko, 1998)

$(a, b, c) \in \text{Horn}(n)$  si et seulement si

- $|a| + |b| = |c|$ ,
- pour toutes parties  $I, J, L$  de  $\{1, \dots, n\}$  de même cardinal, on a  $|a|_I + |b|_J \leq |c|_L$  si le coefficient  $c_{I,J}^L$  de Littlewood-Richardson est non nul.

# Résultat principal

## Théorème (P, 22)

$(a, b, c) \in \text{Horn}_{\text{sp}}(n)$  si et seulement si

- $|a| + |b| \leq |c|$ ,
- pour toutes parties  $I, J, L$  de  $\{1, \dots, n\}$  de même cardinal, on a  $|a|_I + |b|_J \leq |c|_L$  si le coefficient  $c_{I,J}^L$  de Littlewood-Richardson est non nul.

## Théorème (P, 22)

$(a, b, c) \in \text{Horn}_{\text{sp}}(n)$  si et seulement si

- $|a| + |b| \leq |c|$ ,
- pour toutes parties  $I, J, L$  de  $\{1, \dots, n\}$  de même cardinal, on a  $|a|_I + |b|_J \leq |c|_L$  si le coefficient  $c_{I,J}^L$  de Littlewood-Richardson est non nul.

Travaux antérieurs:

- Hiroshima (06):  $\sum_{j=1}^k a_j + \sum_{j=1}^k b_j \leq \sum_{j=1}^k c_j$  (inégalités de Ky Fan).
- Bhatia-Jain (21):  $a_i + b_j \leq c_{i+j-1}$  (inégalités de Weyl).
- Jain-Mishra (22):  $|a|_I + \sum_{j=1}^k b_j \leq |c|_I$  pour tout  $I = \{i_1 < i_2 < \dots < i_k\}$  (inégalités de Lidskii).

# Classique versus Quantique

# Classique versus Quantique

$K$  groupe de Lie compact connexe d'algèbre de Lie  $\mathfrak{k}$ ,  $T \subset K$   
tore maximal d'algèbre de Lie  $\mathfrak{t}$ ,  $\mathfrak{t}_{\geq 0}$  chambre de Weyl,  
 $\Lambda_+ \subset \mathfrak{t}_{\geq 0}$  poids dominants

# Classique versus Quantique

$K$  groupe de Lie compact connexe d'algèbre de Lie  $\mathfrak{k}$ ,  $T \subset K$   
tore maximal d'algèbre de Lie  $\mathfrak{t}$ ,  $\mathfrak{t}_{\geq 0}$  chambre de Weyl,  
 $\Lambda_+ \subset \mathfrak{t}_{\geq 0}$  poids dominants

- L'objet classique: le cône

$$\text{Horn}(K) = \left\{ (a, b, c) \in (\mathfrak{t}_{\geq 0})^3, Kc \subset Ka + Kb \right\}$$

# Classique versus Quantique

$K$  groupe de Lie compact connexe d'algèbre de Lie  $\mathfrak{k}$ ,  $T \subset K$   
tore maximal d'algèbre de Lie  $\mathfrak{t}$ ,  $\mathfrak{t}_{\geq 0}$  chambre de Weyl,  
 $\Lambda_+ \subset \mathfrak{t}_{\geq 0}$  poids dominants

- L'objet classique: le cône

$$\text{Horn}(K) = \left\{ (a, b, c) \in (\mathfrak{t}_{\geq 0})^3, Kc \subset Ka + Kb \right\}$$

- L'objet quantique: le monoïde

$$\Pi(K) = \left\{ (\lambda, \mu, \nu) \in (\Lambda_+)^3, V_\nu^K \subset V_\lambda^K \otimes V_\mu^K \right\}$$

# Classique versus Quantique

$K$  groupe de Lie compact connexe d'algèbre de Lie  $\mathfrak{k}$ ,  $T \subset K$   
tore maximal d'algèbre de Lie  $\mathfrak{t}$ ,  $\mathfrak{t}_{\geq 0}$  chambre de Weyl,  
 $\Lambda_+ \subset \mathfrak{t}_{\geq 0}$  poids dominants

- L'objet classique: le cône

$$\text{Horn}(K) = \left\{ (a, b, c) \in (\mathfrak{t}_{\geq 0})^3, Kc \subset Ka + Kb \right\}$$

- L'objet quantique: le monoïde

$$\Pi(K) = \left\{ (\lambda, \mu, \nu) \in (\Lambda_+)^3, V_\nu^K \subset V_\lambda^K \otimes V_\mu^K \right\}$$

## Propriétés fondamentales

- $\mathbb{Q}^{>0} \cdot \Pi(K)$  est  $\mathbb{Q}$ -convexe.
- $\mathbb{Q}^{>0} \cdot \Pi(K)$  est dense dans  $\text{Horn}(K)$ .
- $\text{Horn}(K)$  est un cône convexe.

# Le cône causal de $\mathfrak{sp}(\mathbb{R}^{2n})$

# Le cône causal de $\mathfrak{sp}(\mathbb{R}^{2n})$

- Identifications équivariantes :

$$\text{Sym}_{2n} \simeq \mathfrak{sp}(\mathbb{R}^{2n}), \quad \text{Sym}_{2n}^+ \simeq C_n, \quad \text{Sym}_{2n}^{++} \simeq C_n^0.$$

- $C_n \subset \mathfrak{sp}(\mathbb{R}^{2n})$  est le cône invariant fermé, contenant  $\begin{pmatrix} 0 & I_n \\ -I_n & 0 \end{pmatrix}$ , et vérifiant  $C_n \cap -C_n = \{0\}$

# Le cône causal de $\mathfrak{sp}(\mathbb{R}^{2n})$

- Identifications équivariantes :

$$\text{Sym}_{2n} \simeq \mathfrak{sp}(\mathbb{R}^{2n}), \quad \text{Sym}_{2n}^+ \simeq C_n, \quad \text{Sym}_{2n}^{++} \simeq C_n^0.$$

- $C_n \subset \mathfrak{sp}(\mathbb{R}^{2n})$  est le cône invariant fermé, contenant  $\begin{pmatrix} 0 & I_n \\ -I_n & 0 \end{pmatrix}$ , et vérifiant  $C_n \cap -C_n = \{0\}$
- Compact maximal  $K = U(n) \subset G = Sp(\mathbb{R}^{2n})$ , tore maximal  $T \subset U(n)$
- Chambre de Weyl  $\mathfrak{t}_{\geq 0} \subset \mathfrak{t}$ , chambre holomorphe  $\mathfrak{t}_{hol} \subset \mathfrak{t}_{\geq 0}$
- Théorème de Williamson revisité: toute  $G$ -orbite dans  $C_n^0$  intersecte la chambre  $\mathfrak{t}_{hol}$  en un unique élément.

# Le cône causal de $\mathfrak{sp}(\mathbb{R}^{2n})$

- Identifications équivariantes :

$$\text{Sym}_{2n} \simeq \mathfrak{sp}(\mathbb{R}^{2n}), \quad \text{Sym}_{2n}^+ \simeq C_n, \quad \text{Sym}_{2n}^{++} \simeq C_n^0.$$

- $C_n \subset \mathfrak{sp}(\mathbb{R}^{2n})$  est le cône invariant fermé, contenant  $\begin{pmatrix} 0 & I_n \\ -I_n & 0 \end{pmatrix}$ , et vérifiant  $C_n \cap -C_n = \{0\}$
- Compact maximal  $K = U(n) \subset G = Sp(\mathbb{R}^{2n})$ , tore maximal  $T \subset U(n)$
- Chambre de Weyl  $\mathfrak{t}_{\geq 0} \subset \mathfrak{t}$ , chambre holomorphe  $\mathfrak{t}_{hol} \subset \mathfrak{t}_{\geq 0}$
- Théorème de Williamson revisité: toute  $G$ -orbite dans  $C_n^0$  intersecte la chambre  $\mathfrak{t}_{hol}$  en un unique élément.

L'objet classique pour  $G = Sp(\mathbb{R}^{2n})$

$$\text{Horn}_{\text{sp}}(n) = \text{Horn}_{hol}(G) = \left\{ (a, b, c) \in (\mathfrak{t}_{hol})^3, Gc \subset Ga + Gb \right\}$$

# La série discrète holomorphe de $G = Sp(\mathbb{R}^{2n})$

# La série discrète holomorphe de $G = Sp(\mathbb{R}^{2n})$

- $\Lambda_{hol} =$  l'ensemble des  $n$ -uplets  $\lambda_1 \geq \dots \geq \lambda_n \geq n + 1$ .
- $S^2(\mathbb{C}^n) = K$ -module des matrices complexes symétriques.

# La série discrète holomorphe de $G = Sp(\mathbb{R}^{2n})$

- $\Lambda_{hol} =$  l'ensemble des  $n$ -uplets  $\lambda_1 \geq \dots \geq \lambda_n \geq n + 1$ .
- $S^2(\mathbb{C}^n) = K$ -module des matrices complexes symétriques.

## Haris-Chandra (55)

À tout  $\lambda \in \Lambda_{hol}$  on peut associer une rep. unitaire irred. de carré intégrable  $V_\lambda^G$  tel que  $V_\lambda^G|_K \simeq V_\lambda^K \otimes \text{Sym}(S^2(\mathbb{C}^n))$ .

# La série discrète holomorphe de $G = Sp(\mathbb{R}^{2n})$

- $\Lambda_{hol}$  = l'ensemble des  $n$ -uplets  $\lambda_1 \geq \dots \geq \lambda_n \geq n + 1$ .
- $S^2(\mathbb{C}^n) = K$ -module des matrices complexes symétriques.

## Haris-Chandra (55)

À tout  $\lambda \in \Lambda_{hol}$  on peut associer une rep. unitaire irred. de carré intégrable  $V_\lambda^G$  tel que  $V_\lambda^G|_K \simeq V_\lambda^K \otimes \text{Sym}(S^2(\mathbb{C}^n))$ .

## Produit tensoriel (Repka, 79)

Pour tout  $\lambda, \mu \in \Lambda_{hol}$ , on a une décomposition hilbertienne  $V_\lambda^G \otimes V_\mu^G = \sum_{\nu \in \Lambda_{hol}} c_{\lambda\mu}^\nu V_\nu^G$  où les multiplicités  $c_{\lambda\mu}^\nu$  sont finies.

# La série discrète holomorphe de $G = Sp(\mathbb{R}^{2n})$

- $\Lambda_{hol}$  = l'ensemble des  $n$ -uplets  $\lambda_1 \geq \dots \geq \lambda_n \geq n + 1$ .
- $S^2(\mathbb{C}^n) = K$ -module des matrices complexes symétriques.

## Haris-Chandra (55)

À tout  $\lambda \in \Lambda_{hol}$  on peut associer une rep. unitaire irred. de carré intégrable  $V_\lambda^G$  tel que  $V_\lambda^G|_K \simeq V_\lambda^K \otimes \text{Sym}(S^2(\mathbb{C}^n))$ .

## Produit tensoriel (Repka, 79)

Pour tout  $\lambda, \mu \in \Lambda_{hol}$ , on a une décomposition hilbertienne  $V_\lambda^G \otimes V_\mu^G = \sum_{\nu \in \Lambda_{hol}} c_{\lambda\mu}^\nu V_\nu^G$  où les multiplicités  $c_{\lambda\mu}^\nu$  sont finies.

## L'objet quantique pour $G = Sp(\mathbb{R}^{2n})$

$$\Pi_{hol}(G) = \left\{ (\lambda, \mu, \nu) \in (\Lambda_{hol})^3, V_\nu^G \subset V_\lambda^G \otimes V_\mu^G \right\}$$

# La quantification commute à la réduction

# La quantification commute à la réduction

Soient  $\lambda, \mu \in \Lambda(n)$ .  $G$ -variété Hamiltonienne  $G\lambda \times G\mu$  avec application moment  $\Phi_{\lambda, \mu} : G\lambda \times G\mu \rightarrow \mathfrak{g}$ .

# La quantification commute à la réduction

Soient  $\lambda, \mu \in \Lambda(n)$ .  $G$ -variété Hamiltonienne  $G\lambda \times G\mu$  avec application moment  $\Phi_{\lambda, \mu} : G\lambda \times G\mu \rightarrow \mathfrak{g}$ .

## Propriétés géométriques

- $\Phi_{\lambda, \mu}$  est propre
- L'image of  $\Phi_{\lambda, \mu}$  est contenu dans  $\mathfrak{g}_{hol} := G \cdot \mathfrak{t}_{hol}$ .
- $G\lambda \times G\mu // G\xi = \Phi_{\lambda, \mu}^{-1}(G\xi)/G$  est une variété symplectique compacte orbifoldé pour  $\xi \in \mathfrak{g}_{hol}$  générique.

# La quantification commute à la réduction

Soient  $\lambda, \mu \in \Lambda(n)$ .  $G$ -variété Hamiltonienne  $G\lambda \times G\mu$  avec application moment  $\Phi_{\lambda, \mu} : G\lambda \times G\mu \rightarrow \mathfrak{g}$ .

## Propriétés géométriques

- $\Phi_{\lambda, \mu}$  est propre
- L'image of  $\Phi_{\lambda, \mu}$  est contenu dans  $\mathfrak{g}_{hol} := G \cdot \mathfrak{t}_{hol}$ .
- $G\lambda \times G\mu // G\xi = \Phi_{\lambda, \mu}^{-1}(G\xi)/G$  est une variété symplectique compacte orbifold pour  $\xi \in \mathfrak{g}_{hol}$  générique.

## Théorème $[Q, R] = 0$ (P, 15)

$$[V_\nu^G : V_\lambda^G \otimes V_\mu^G] = Q(G\lambda \times G\mu // G\nu).$$

# La quantification commute à la réduction

Soient  $\lambda, \mu \in \Lambda(n)$ .  $G$ -variété Hamiltonienne  $G\lambda \times G\mu$  avec application moment  $\Phi_{\lambda, \mu} : G\lambda \times G\mu \rightarrow \mathfrak{g}$ .

## Propriétés géométriques

- $\Phi_{\lambda, \mu}$  est propre
- L'image of  $\Phi_{\lambda, \mu}$  est contenu dans  $\mathfrak{g}_{hol} := G \cdot \mathfrak{t}_{hol}$ .
- $G\lambda \times G\mu // G\xi = \Phi_{\lambda, \mu}^{-1}(G\xi)/G$  est une variété symplectique compacte orbifold pour  $\xi \in \mathfrak{g}_{hol}$  générique.

## Théorème $[Q, R] = 0$ (P, 15)

$$[V_\nu^G : V_\lambda^G \otimes V_\mu^G] = Q(G\lambda \times G\mu // G\nu).$$

## Corollaire

$\mathbb{Q}^{>0} \cdot \Pi_{hol}(G)$  est dense dans  $\text{Horn}_{hol}(G) = \text{Horn}_{sp}(n)$ .

# Un résultat de H.P. Jakobsen et M. Vergne

## Jakobsen-Vergne (79)

$$[V_\nu^G : V_\lambda^G \otimes V_\mu^G] = [V_\nu^K : V_\lambda^K \otimes V_\mu^K \otimes \text{Sym}(\mathcal{S}^2(\mathbb{C}^n))]$$

## Jakobsen-Vergne (79)

$$[V_\nu^G : V_\lambda^G \otimes V_\mu^G] = [V_\nu^K : V_\lambda^K \otimes V_\mu^K \otimes \text{Sym}(\mathcal{S}^2(\mathbb{C}^n))]$$

## Corollaire

- $\Pi_{hol}(G) \subset \Lambda^3$  est stable pour l'addition.
- $\mathbb{Q}^{>0} \cdot \Pi_{hol}(G)$  est  $\mathbb{Q}$ -convexe.

## Jakobsen-Vergne (79)

$$[V_\nu^G : V_\lambda^G \otimes V_\mu^G] = [V_\nu^K : V_\lambda^K \otimes V_\mu^K \otimes \text{Sym}(\mathcal{S}^2(\mathbb{C}^n))]$$

## Corollaire

- $\Pi_{hol}(G) \subset \Lambda^3$  est stable pour l'addition.
- $\mathbb{Q}^{>0} \cdot \Pi_{hol}(G)$  est  $\mathbb{Q}$ -convexe.

## Théorème (P, 20)

$\text{Horn}_{sp}(n)$  est un cône convexe fermé de  $(t_{hol})^3$ .

# Réduction au compact maximal

# Réduction au compact maximal

$M = T^*K \times T^*K \times S^2(\mathbb{C}^n)^o$  : variété  $K \times K \times K$ -hamiltonienne,  
application moment  $\Phi : M \rightarrow \mathfrak{k}^3$

# Réduction au compact maximal

$M = T^*K \times T^*K \times S^2(\mathbb{C}^n)^o$  : variété  $K \times K \times K$ -hamiltonienne,  
application moment  $\Phi : M \rightarrow \mathfrak{k}^3$

Object classique associé à  $K^3 \curvearrowright M$

Polytope de Kirwan  $\Delta(M) = \Phi(M) \cap (\mathfrak{t}_{\geq 0})^3$

# Réduction au compact maximal

$M = T^*K \times T^*K \times S^2(\mathbb{C}^n)^o$  : variété  $K \times K \times K$ -hamiltonienne,  
application moment  $\Phi : M \rightarrow \mathfrak{k}^3$

Object classique associé à  $K^3 \circlearrowright M$

Polytope de Kirwan  $\Delta(M) = \Phi(M) \cap (\mathfrak{t}_{\geq 0})^3$

Object quantique associé à  $K^3 \circlearrowright M$

$$\Pi(M) = \left\{ (\lambda, \mu, \nu) \in (\Lambda_+)^3, V_\lambda^K \otimes V_\mu^K \otimes V_\nu^K \subset \mathbb{C}[M] \right\}$$

# Réduction au compact maximal

$M = T^*K \times T^*K \times S^2(\mathbb{C}^n)^o$  : variété  $K \times K \times K$ -hamiltonienne, application moment  $\Phi : M \rightarrow \mathfrak{k}^3$

Object classique associé à  $K^3 \circlearrowright M$

Polytope de Kirwan  $\Delta(M) = \Phi(M) \cap (\mathfrak{t}_{\geq 0})^3$

Object quantique associé à  $K^3 \circlearrowright M$

$$\Pi(M) = \left\{ (\lambda, \mu, \nu) \in (\Lambda_+)^3, V_\lambda^K \otimes V_\mu^K \otimes V_\nu^K \subset \mathbb{C}[M] \right\}$$

Proposition

- $\mathbb{Q}^{>0} \cdot \Pi(M)$  est dense dans  $\Delta(M)$ .
- Identité de J-V implique que  $\Delta(M)^* = \text{Horn}_{hol}(G)$ .
- $\text{Horn}_{sp}(n) = \Delta(M)^*$ .

# Fin de la preuve

# Fin de la preuve

Un calcul direct montre que  $\Delta(M)^*$  est égal à

$$\text{Horn}^{\leq}(n) = \left\{ (vp(A), vp(B), vp(C)), A + B \leq C \right\}$$

Un calcul direct montre que  $\Delta(M)^*$  est égal à

$$\text{Horn}^{\leq}(n) = \left\{ (vp(A), vp(B), vp(C)), A + B \leq C \right\}$$

On termine la preuve du résultat principal avec

## Théorème (Friedland-Fulton, 00)

$(a, b, c) \in \text{Horn}^{\leq}(n)$  si et seulement si

- $|a| + |b| \leq |c|$ ,
- pour toutes parties  $I, J, L$  de  $\{1, \dots, n\}$  de même cardinal, on a  $|a|_I + |b|_J \leq |c|_L$  si le coefficient  $c_{I,J}^L$  de Littlewood-Richardson est non nul.

Un calcul direct montre que  $\Delta(M)^*$  est égal à

$$\text{Horn}^{\leq}(n) = \left\{ (vp(A), vp(B), vp(C)), A + B \leq C \right\}$$

On termine la preuve du résultat principal avec

## Théorème (Friedland-Fulton, 00)

$(a, b, c) \in \text{Horn}^{\leq}(n)$  si et seulement si

- $|a| + |b| \leq |c|$ ,
- pour toutes parties  $I, J, L$  de  $\{1, \dots, n\}$  de même cardinal, on a  $|a|_I + |b|_J \leq |c|_L$  si le coefficient  $c_{I,J}^L$  de Littlewood-Richardson est non nul.

Merci pour votre attention !